

УДК 519.642.2

МЕТОД ДИСКРЕТНЫХ ОРДИНАТ С ИСКУССТВЕННОЙ ДИССИПАЦИЕЙ (DDAD-СХЕМА) ДЛЯ ЧИСЛЕННОГО РЕШЕНИЯ УРАВНЕНИЯ ПЕРЕНОСА НЕЙТРОНОВ

А. Д. Гаджиев, И. А. Кондаков, В. Н. Писарев, О. И. Стародумов, А. А. Шестаков
(РФЯЦ–ВНИИТФ)

Рассмотрен метод дискретных ординат с искусственной диссипацией (DDAD-схема) для численного решения уравнения переноса нейтронов в одномерной и двумерной геометриях. Искусственная диссипация вводится для ослабления нефизических осцилляций, возникающих при решении уравнения переноса в оптически плотных средах методом дискретных ординат второго порядка точности.

Введение

Одним из основных при решении уравнения переноса является DS_n -метод [1]. Хорошо известно, что DS_n -метод второго порядка точности (DD-схема) в оптически плотной среде выдает осцилирующее решение [2]. Причиной этого дефекта является применение в DD-схеме линейной интерполяции выражения αN , описывающего поглощение частиц в кинетическом уравнении. Такая аппроксимация порождает в первом дифференциальном приближении антидиссипативную добавку вида $-\frac{\alpha}{8}h^2 \frac{\partial^2 N}{\partial x^2}$.

В работе Рида [2] в оптически плотных средах ($\alpha h \geq 2$) рекомендовано применять трехточечную схему, а при $\alpha h < 2$ – двухточечную DD-схему. В трехточечной схеме нет интерполяции выражения αN , как в DD-схеме, поэтому не образуется антидиссипативная добавка, о которой говорилось выше. Однако комбинированная схема сложна для численной реализации. В данной работе предлагается другое решение: оставаясь в рамках DS_n -метода, уменьшить антидиссипацию введением диссипативных членов. Реализуется это посредством специально подобранный искусственной диссипации. Новый метод сохраняет второй порядок точности. Схема этого метода получила название DDAD-схемы (Diamond Difference with Artificial Dissipation).

Постановка задачи

Уравнение переноса нейтронов в многогрупповом приближении имеет вид [1]

$$\frac{1}{v_g} \frac{\partial N_g}{\partial t} + \vec{\Omega} \nabla N_g + \alpha_g N_g = Q_g, \quad g = 1, 2, \dots, G. \quad (1)$$

Здесь $N_g(\vec{r}, \vec{\Omega}, t)$ – плотность потока нейтронов; $\alpha_g(\vec{r}, t)$ – коэффициент поглощения; v_g – модуль скорости нейтронов; $\vec{\Omega}$ – единичный вектор в направлении движения нейтронов; $Q_g(\vec{r}, \vec{\Omega}, t)$ – плотность эмиссии нейтронов группы g .

Для простоты рассмотрим случай с изотропным рассеянием. Тогда

$$Q_g = \frac{1}{4\pi} \sum_{g'=1}^G \beta_{g'g} S N_{g'} + \frac{1}{4\pi} f_g, \quad (2)$$

где $\beta_{g'g}(\vec{r}, t)$ — коэффициент размножения; $f_g(\vec{r}, t)$ — независимый источник; $SN_{g'} = \int_{\Omega} N_{g'} d\tilde{\Omega}$ — скалярный поток нейтронов.

Для многогрупповой системы уравнений (1), (2) в некоторой области D , ограниченной замкнутой поверхностью Σ , решается смешанная краевая задача со следующими начальными и граничными условиями:

$$\begin{aligned} N_g(\vec{r}, \tilde{\Omega}, t) \Big|_{t=t_0} &= N_g^0(\vec{r}, \tilde{\Omega}); \\ N_g(\vec{r}, \tilde{\Omega}, t) \Big|_{\vec{r} \in \Sigma} &= \tilde{N}_g(P; \tilde{\Omega}, t) \text{ при } \vec{n}\tilde{\Omega} < 0, \quad g = 1, 2, \dots, G. \end{aligned}$$

Здесь P — точка на поверхности Σ ; \vec{n} — внешняя нормаль к Σ ; \tilde{N}_g — известная функция.

В дальнейшем будем рассматривать систему уравнений (1), (2) лишь для одномерных (плоской и сферической) и двумерной (осесимметричной) геометрий [3]. В соответствии с этим будем иметь:

— для одномерных геометрий

$$N_g = N_g(r, \mu, t); \quad SN_g(r, t) = \int_{-1}^1 N_g(r, \mu', t) d\mu';$$

$$\begin{aligned} Q_g(r, t) &= \frac{1}{2} \sum_{g'=1}^G \beta_{g'g} SN_{g'} + \frac{1}{2} f_g(r, t); \\ \tilde{\Omega} \nabla N &= \begin{cases} \mu \frac{\partial N}{\partial r} & \text{для плоской геометрии;} \\ \frac{1}{r^2} \frac{\partial}{\partial r} (r^2 \mu N) + \frac{\partial}{\partial \mu} \left(\frac{1-\mu^2}{2} N \right) & \text{для сферической геометрии;} \end{cases} \end{aligned}$$

— для двумерной (осесимметричной) геометрии

$$N_g = N_g(r, z, \mu, \phi, t); \quad SN_g(r, z, t) = \int_{-1}^1 \int_0^\pi N_g(r, z, \mu', \phi', t) d\mu' d\phi';$$

$$Q_g(r, z, t) = \frac{1}{4\pi} \sum_{g'=1}^G \beta_{g'g} SN_{g'} + \frac{1}{4\pi} f_g(r, z, t);$$

$$\operatorname{div}(\tilde{\Omega} N) = \frac{1}{r} \frac{\partial}{\partial r} (r \xi N) + \frac{1}{r} \frac{\partial}{\partial z} (r \mu N) - \frac{1}{r} \frac{\partial}{\partial \phi} (\eta N);$$

$$\tilde{\Omega} = (\xi, \eta, \mu); \quad \xi = \sqrt{1-\mu^2} \cos \phi; \quad \eta = \sqrt{1-\mu^2} \sin \phi.$$

Разностная аппроксимация

Одномерная геометрия. Для одномерных геометрий сетка по переменной \vec{r} задается координатами r_i ($i = 0, 1, \dots, J$), которые, в частности, совпадают с границами раздела сред. По переменной μ сетка задается узлами μ_m ($m = 0, 1, \dots, M$; $\mu_0 = -1$; $\mu_M = 1$).

В качестве разностного аналога для $\tilde{\Omega} \nabla N$ применяем выражение:

— для плоской геометрии

$$\operatorname{div}_h \tilde{\Omega} N = \mu_{m+1/2} \frac{N_{i+1} - N_i}{\Delta r_i}; \tag{3}$$

— для сферической геометрии

$$\operatorname{div}_h \tilde{\Omega} N = \mu_{m+1/2} \frac{r_{i+1}^2 N_{i+1} - r_i^2 N_i}{\Delta V_i} + \frac{r_{i+1/2} \Delta r_i}{\Delta V_i} \frac{(1-\mu_{m+1}^2) N_{m+1} - (1-\mu_m^2) N_m}{\Delta \mu_m}, \tag{4}$$

где $r_{i+1/2} = \frac{1}{2}(r_{i+1} + r_i)$; $\Delta r_i = r_{i+1} - r_i$; $\Delta V_i = \frac{1}{3}(r_{i+1}^3 - r_i^3)$; $i = 0, 1, \dots, J-1$; $m = 0, 1, \dots, M-1$.

Запишем разностную аппроксимацию уравнения (1):

$$\frac{N_g^{n+1} - N_g^n}{v_g \Delta t^n} + \operatorname{div}_h(\tilde{\Omega} N_g) + \alpha_g N_g = Q_g, \quad g = 1, 2, \dots, G. \quad (5)$$

Здесь оператор $\operatorname{div}_h(\tilde{\Omega} N_g)$ определяется формулами (3), (4). Дробные индексы у функций N , α , Q для краткости записи опущены.

Получены разностные уравнения, отвечающие DS_n -методу. Они выражают закон сохранения нейтронов в ячейке и удовлетворяют требованию консервативности. Система уравнений (5) не является полной, ее необходимо дополнить граничными условиями и дополнительными соотношениями, связывающими N с целыми и полуцелыми индексами. Эти соотношения будут рассмотрены после введения искусственной диссипации.

Двумерная осесимметричная геометрия. Для двумерной осесимметричной геометрии область D разбивается регулярной четырехугольной сеткой на ячейки D_{ij} . Сетка задается цилиндрическими координатами вершин ячеек (r_{ij}, z_{ij}) , $i = 0, 1, \dots, I$, $j = 0, 1, \dots, J$ (рис. 1).

По переменным μ, ϕ сетка строится по ES_M -квадратуре [4]. Поверхность единичной полусферы разбивается на $\frac{M^2 + 2M}{2}$ ячеек с одинаковыми площадями. При этом количество интервалов по переменной μ равно M , причем сетка неравномерная, но симметричная относительно $\mu = 0$.

Разностный аналог уравнения (1) для двумерной осесимметричной геометрии имеет вид

$$\frac{N_g^{n+1} - N_g^n}{v_g \Delta t^n} + \operatorname{div}_h(\tilde{\Omega} N_g) + \alpha_g N_g = Q_g, \quad (6)$$

где $\operatorname{div}_h(\tilde{\Omega} N_g) \equiv \frac{1}{\Delta V_{ij}} \sum_{s=1}^4 \tilde{\Omega} (\tilde{n} \Delta l_r N_g)_{s+1/2} + \frac{\Delta S_{ij}}{\Delta V_{ij}} \frac{\eta_{k+1} N_{g,k+1} - \eta_k N_{g,k}}{\Delta \phi_{k,m+1/2}}$; $\eta_{k+1,m+1/2} = \eta_{k,m+1/2} - \xi_{k+1,m+1/2} \Delta \phi_{k,m+1/2}$; $\eta_{0,m+1/2} = 0$; $\Delta \phi_{k,m+1/2} = \phi_{k,m+1/2} - \phi_{k+1,m+1/2}$; $k = 0, 1, \dots, K_{m+1/2} - 1$; $m = 0, 1, \dots, M - 1$; $g = 1, 2, \dots, G$; $i = 1, 2, \dots, I$; $j = 1, 2, \dots, J$.

В качестве квадратурной формулы используется следующая:

$$SN = \int_{-1}^1 \int_0^\pi N d\phi d\mu = \sum_{m=0}^{M-1} \sum_{k=0}^{K_{m+1/2}-1} N_{m+1/2, k+1/2} \Delta \phi_{k,m+1/2} \Delta \mu_m.$$

Разностное уравнение (6), отвечающее методу дискретных ординат [5, 6], представляет собой интегральный закон сохранения нейтронов для ячейки $[t^n \leq t \leq t^{n+1}] \times D_{ij} \times [\mu_m \leq \mu \leq \mu_{m+1}] \times$

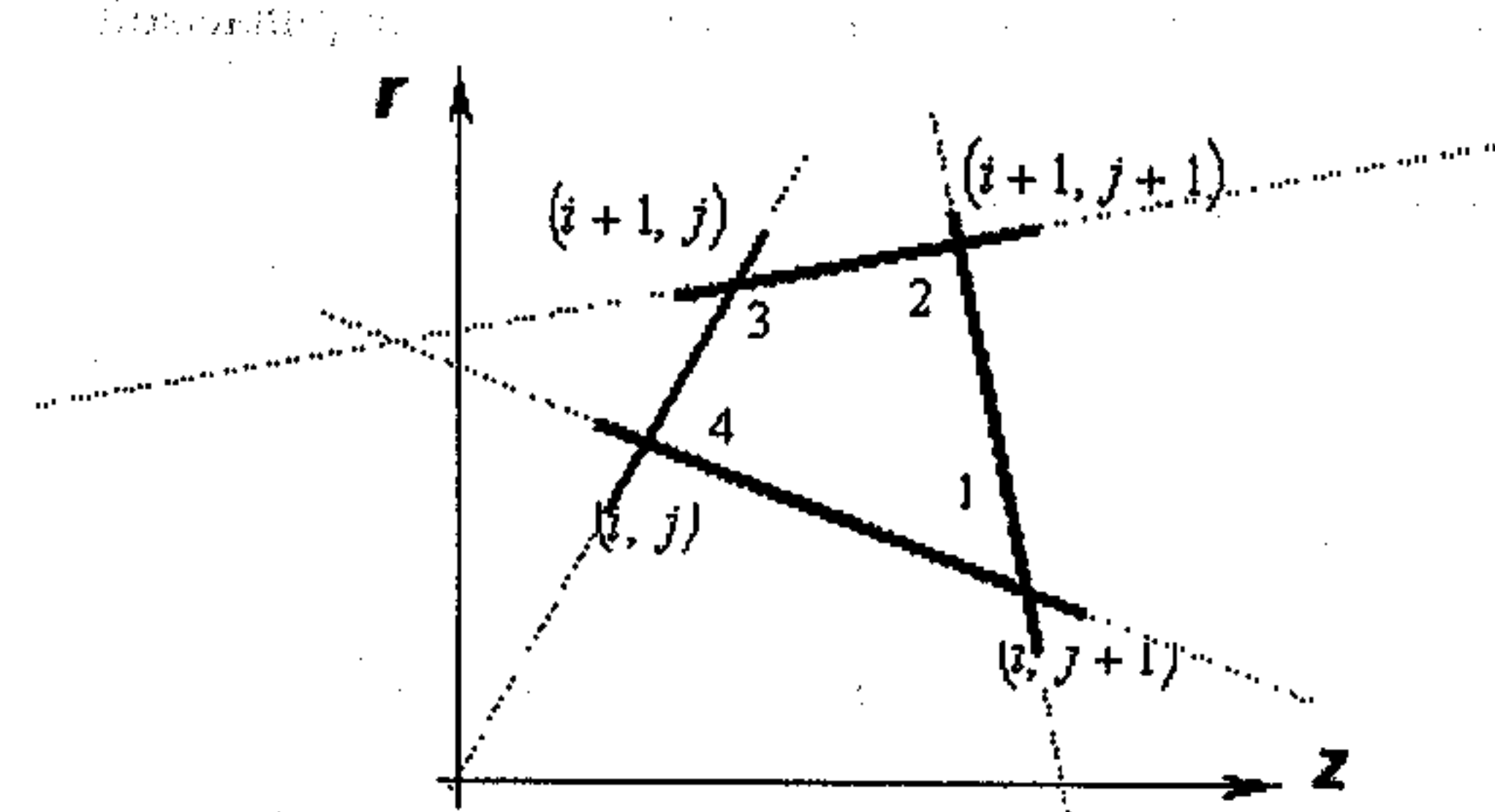


Рис. 1. Типичная ячейка D_{ij} на плоскости (r, z)

$\times [\phi_{k+1,m+1/2} \leq \phi \leq \phi_{k,m+1/2}]$. В уравнении (6) суммирование ведется по граням ячейки; ΔS_{ij} , ΔV_{ij} — соответственно площадь и объем ячейки; \vec{n} — внешняя нормаль к граням.

Метод дискретных ординат с искусственной диссипацией (схема DDAD)

Введение искусственной диссипации. Используя соотношение

$$N^{n+1} = p^n N + (1 - p^n) N^n,$$

где $1 \leq p^n \leq 2$ — весовой параметр по временной переменной, запишем уравнение (6) в виде

$$\tilde{\alpha}_g N_g + \operatorname{div}_h (\tilde{\Omega} N_g) = \tilde{Q}_g, \quad g = 1, 2, \dots, G, \quad (7)$$

где

$$\tilde{\alpha}_g = \frac{p^n}{v_g \Delta t^n} + \alpha_{gi}, \quad \tilde{Q}_g = Q_g + \frac{p^n}{v_g \Delta t^n} \left(\frac{N_g}{\rho} \right)^n \rho.$$

Введем в уравнение (7) искусственную диссипацию через вспомогательную диссипативную функцию Ψ_g :

$$\tilde{\alpha}_g N_g + \operatorname{div}_h (\tilde{\Omega} \Psi_g) = \tilde{Q}_g, \quad N_g = \Psi_g + \delta_g \Delta x \operatorname{div}_h (\tilde{\Omega} \Psi_g) - \theta_g \Delta x \operatorname{div}_h (\tilde{\Omega} \tilde{Q}_g), \quad (8)$$

где Δx — линейный размер ячейки; $\delta_g \geq 0$, $\theta_g \geq 0$ — коэффициенты искусственной диссипации. Подстановка Ψ_g из второго уравнения (8) в первое приводит к уравнению

$$\tilde{\alpha}_g N_g + \operatorname{div}_h (\tilde{\Omega} N_g) = \tilde{Q}_g + [\operatorname{div}_h (\tilde{\Omega} \delta_g \Delta x \operatorname{div}_h (\tilde{\Omega} \Psi_g)) - \operatorname{div}_h (\tilde{\Omega} \theta_g \Delta x \operatorname{div}_h (\tilde{\Omega} \tilde{Q}_g))]. \quad (9)$$

Выражение

$$AD_g = \operatorname{div}_h (\tilde{\Omega} \delta_g \Delta x \operatorname{div}_h (\tilde{\Omega} \Psi_g)) - \operatorname{div}_h (\tilde{\Omega} \theta_g \Delta x \operatorname{div}_h (\tilde{\Omega} \tilde{Q}_g))$$

со вторыми производными, входящее в правую часть уравнения (9), есть введенная искусственная диссипация, а δ_g , θ_g — ее параметры.

Выбор параметров δ_g , θ_g . Подставим N_g из второго уравнения (8) в первое:

$$\tilde{\alpha}_g \Psi_g + (1 + \delta_g \Delta x \tilde{\alpha}_g) \operatorname{div}_h (\tilde{\Omega} \Psi_g) = \tilde{\alpha}_g \left[\frac{\tilde{Q}_g}{\tilde{\alpha}_g} + \tilde{\alpha}_g \theta_g \Delta x \operatorname{div}_h \left(\tilde{\Omega} \frac{\tilde{Q}_g}{\tilde{\alpha}_g} \right) \right], \quad g = 1, 2, \dots, G. \quad (10)$$

Здесь параметр $\tilde{\alpha}_g$ в предположении его постоянства в рассматриваемой ячейке внесен под знак $\operatorname{div}_h (\tilde{\Omega} \tilde{Q}_g)$.

Введя приведенный коэффициент поглощения

$$\tilde{\alpha}_g^* = \frac{\tilde{\alpha}_g}{1 + \delta_g \Delta x \tilde{\alpha}_g},$$

запишем уравнение (10) в виде

$$\alpha_g^* \Psi_g + \operatorname{div}_h (\tilde{\Omega} \Psi_g) = \alpha_g^* Q_g^*, \quad g = 1, 2, \dots, G, \quad (11)$$

где

$$Q_g^* = \frac{\tilde{Q}_g}{\tilde{\alpha}_g} + \tilde{\alpha}_g \theta_g \Delta x \operatorname{div}_h \left(\tilde{\Omega} \frac{\tilde{Q}_g}{\tilde{\alpha}_g} \right).$$

Оценим разность

$$N_g - \Psi_g = \delta_g \Delta x \operatorname{div}_h \left(\vec{\Omega} \Psi_g \right) - \theta_g \Delta x \tilde{\alpha}_g \operatorname{div}_h \left(\vec{\Omega} \frac{\tilde{Q}_g}{\tilde{\alpha}_g} \right). \quad (12)$$

Выразим Ψ_g из уравнения (11) и вычислим

$$\operatorname{div}_h \left(\vec{\Omega} \Psi_g \right) = -\frac{1}{\alpha_g^*} \operatorname{div}_h \left(\vec{\Omega} \operatorname{div}_h \left(\vec{\Omega} \Psi_g \right) \right) + \operatorname{div}_h \left(\vec{\Omega} \frac{\tilde{Q}_g}{\tilde{\alpha}_g} \right) + \operatorname{div}_h \left(\vec{\Omega} \tilde{\alpha}_g \theta_g \Delta x \operatorname{div}_h \left(\vec{\Omega} \frac{\tilde{Q}_g}{\tilde{\alpha}_g} \right) \right).$$

Подставив в (12), получим

$$\begin{aligned} N_g - \Psi_g &= \frac{\delta_g \Delta x}{\alpha_g^*} \operatorname{div}_h \left(\vec{\Omega} \operatorname{div}_h \left(\vec{\Omega} \Psi_g \right) \right) + \delta_g \Delta x \operatorname{div}_h \left(\vec{\Omega} \frac{\tilde{Q}_g}{\tilde{\alpha}_g} \right) + \\ &\quad + (\delta_g \Delta x^2 \tilde{\alpha}_g \theta_g) \operatorname{div}_h \left(\vec{\Omega} \operatorname{div}_h \left(\vec{\Omega} \frac{\tilde{Q}_g}{\tilde{\alpha}_g} \right) \right) - \theta_g \Delta x \tilde{\alpha}_g \operatorname{div}_h \left(\vec{\Omega} \frac{\tilde{Q}_g}{\tilde{\alpha}_g} \right). \end{aligned}$$

Теперь, выбрав параметр θ_g из условия

$$\delta_g \Delta x \operatorname{div}_h \left(\vec{\Omega} \frac{\tilde{Q}_g}{\tilde{\alpha}_g} \right) - \theta_g \Delta x \tilde{\alpha}_g \operatorname{div}_h \left(\vec{\Omega} \frac{\tilde{Q}_g}{\tilde{\alpha}_g} \right) = 0, \quad (13)$$

получим

$$\theta_g = \frac{\delta_g}{\tilde{\alpha}_g}. \quad (14)$$

После этого разность $N_g - \Psi_g$ принимает вид

$$N_g - \Psi_g = -\frac{\delta_g \Delta x}{\alpha_g^*} \operatorname{div}_h \left(\vec{\Omega} \operatorname{div}_h \left(\vec{\Omega} \Psi_g \right) \right) + (\delta_g \Delta x)^2 \operatorname{div}_h \left(\vec{\Omega} \operatorname{div}_h \left(\vec{\Omega} \frac{\tilde{Q}_g}{\tilde{\alpha}_g} \right) \right). \quad (15)$$

Параметр δ_g будем выбирать из условия малости $N_g - \Psi_g = O(\Delta x^2)$ и обеспечения монотонных свойств решения в оптически плотных средах. Запишем систему разностных уравнений (8) в разностно-характеристическом виде:

$$\tilde{\alpha}_g N_g + \frac{(\Psi_g)_{s+1} - (\Psi_g)_s}{\Delta x_s} = \tilde{Q}_g, \quad N_g = \Psi_g + \delta_g \Delta x \frac{(\Psi_g)_{s+1} - (\Psi_g)_s}{\Delta x_s} - \theta_g \Delta x \frac{(\tilde{Q}_g)_{s+1} - (\tilde{Q}_g)_s}{\Delta x_s}, \quad (16)$$

где Ψ_s — значение функции Ψ в точке пересечения характеристикой гиперплоскости, проходящей через центры освещенных ребер; Ψ_{s+1} — значение функции Ψ в точке пересечения характеристикой гиперплоскости, проходящей через центры неосвещенных ребер; Δx_s — расстояние между этими двумя точками. Возможность приведения разностного оператора $\operatorname{div}_h(\vec{\Omega} N_g)$ к разностно-характеристическому виду $\frac{(\Psi_g)_{s+1} - (\Psi_g)_s}{\Delta x_s}$ рассмотрена в [7]. В соответствии с этим подходом получим для одномерного сферического случая

$$\Psi_s = \begin{cases} \left(-\mu_{m+1/2} r_{i+1}^2 \Psi_{i+1} + \frac{r_{i+1/2} \Delta r_i}{\Delta \mu_m} (1 - \mu_m^2) \Psi_m \right) \left(-\mu_{m+1/2} r_{i+1}^2 + \frac{r_{i+1/2} \Delta r_i}{\Delta \mu_m} (1 - \mu_m^2) \right)^{-1} & \text{при } \mu_{m+1/2} < 0; \\ \left(\mu_{m+1/2} r_i^2 \Psi_i + \frac{r_{i+1/2} \Delta r_i}{\Delta \mu_m} (1 - \mu_m^2) \Psi_m \right) \left(\mu_{m+1/2} r_i^2 + \frac{r_{i+1/2} \Delta r_i}{\Delta \mu_m} (1 - \mu_m^2) \right)^{-1} & \text{при } \mu_{m+1/2} > 0; \end{cases}$$

$$\Psi_{s+1} = \begin{cases} \left(-\mu_{m+1/2} r_i^2 \Psi_i + \frac{r_{i+1/2} \Delta r_i}{\Delta \mu_m} (1 - \mu_{m+1}^2) \Psi_{m+1} \right) \left(-\mu_{m+1/2} r_i^2 + \frac{r_{i+1/2} \Delta r_i}{\Delta \mu_m} (1 - \mu_{m+1}^2) \right)^{-1} & \text{при } \mu_{m+1/2} < 0; \\ \left(\mu_{m+1/2} r_{i+1}^2 \Psi_{i+1} + \frac{r_{i+1/2} \Delta r_i}{\Delta \mu_m} (1 - \mu_{m+1}^2) \Psi_{m+1} \right) \left(\mu_{m+1/2} r_{i+1}^2 + \frac{r_{i+1/2} \Delta r_i}{\Delta \mu_m} (1 - \mu_{m+1}^2) \right)^{-1} & \text{при } \mu_{m+1/2} > 0; \end{cases}$$

$$\Delta x_s = \begin{cases} \frac{\Delta V_i}{-\mu_{m+1/2} r_i^2 + r_{i+1/2} \Delta r_i \frac{1}{\Delta \mu_m} (1 - \mu_{m+1}^2)} = \frac{\Delta V_i}{-\mu_{m+1/2} r_{i+1}^2 + r_{i+1/2} \Delta r_i \frac{1}{\Delta \mu_m} (1 - \mu_m^2)} & \text{при } \mu_{m+1/2} < 0; \\ \frac{\Delta V_i}{\mu_{m+1/2} r_{i+1}^2 + r_{i+1/2} \Delta r_i \frac{1}{\Delta \mu_m} (1 - \mu_{m+1}^2)} = \frac{\Delta V_i}{\mu_{m+1/2} r_i^2 + r_{i+1/2} \Delta r_i \frac{1}{\Delta \mu_m} (1 - \mu_m^2)} & \text{при } \mu_{m+1/2} > 0. \end{cases}$$

Функция Ψ_s представляет собой линейную интерполяцию средних значений Ψ на освещенных гранях в точку на характеристике, проведенной через центр ячейки. Аналогично, функция Ψ_{s+1} есть линейная интерполяция средних значений Ψ на неосвещенных гранях (рис. 2).

В случае плоской геометрии величины Ψ_s , Ψ_{s+1} , Δx_s определяются проще:

$$\Psi_s = \begin{cases} \Psi_{i+1} & \text{при } \mu_{m+1/2} < 0; \\ \Psi_i & \text{при } \mu_{m+1/2} > 0; \end{cases} \quad \Psi_{s+1} = \begin{cases} \Psi_i & \text{при } \mu_{m+1/2} < 0; \\ \Psi_{i+1} & \text{при } \mu_{m+1/2} > 0; \end{cases} \quad \Delta x_s = \frac{\Delta r}{|\mu_{m+1/2}|}.$$

Для двумерной осесимметричной геометрии получим

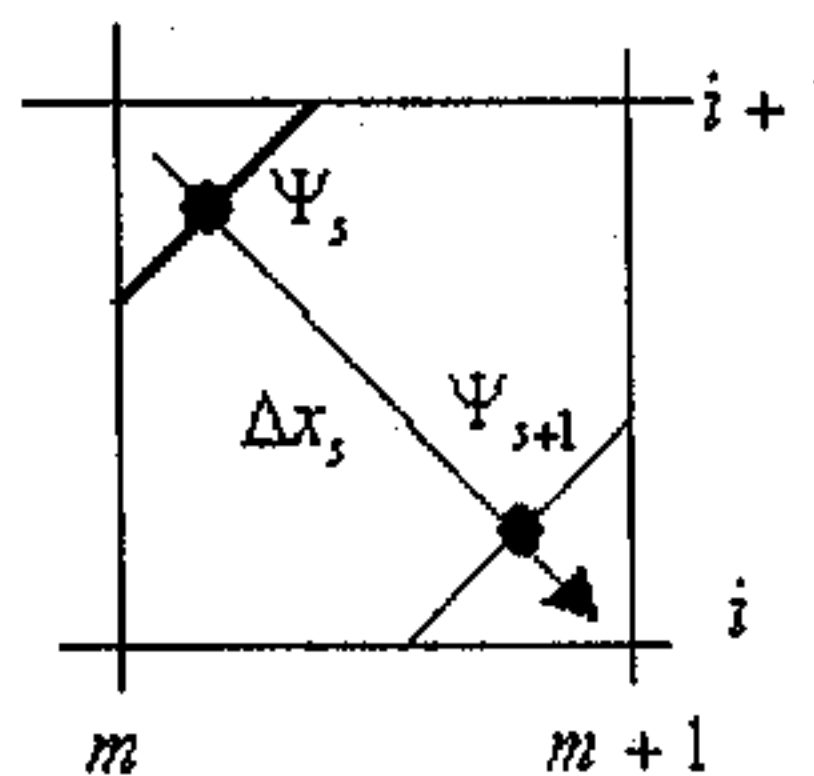
$$\Psi_s = \left(- \sum_{\vec{n}_l < 0} (\vec{n} \cdot \Delta lr \Psi)_{l+1/2} + \frac{\Delta S_{ij}}{\Delta \phi_k} \eta_k \Psi_k \right) \left(- \sum_{\vec{n}_l < 0} (\vec{n} \cdot \Delta lr)_{l+1/2} + \frac{\Delta S_{ij}}{\Delta \phi_k} \eta_k \right)^{-1};$$

$$\Psi_{s+1} = \left(\sum_{\vec{n}_l > 0} (\vec{n} \cdot \Delta lr \Psi)_{l+1/2} + \frac{\Delta S_{ij}}{\Delta \phi_k} \eta_{k+1} \Psi_{k+1} \right) \left(\sum_{\vec{n}_l > 0} (\vec{n} \cdot \Delta lr)_{l+1/2} + \frac{\Delta S_{ij}}{\Delta \phi_k} \eta_{k+1} \right)^{-1};$$

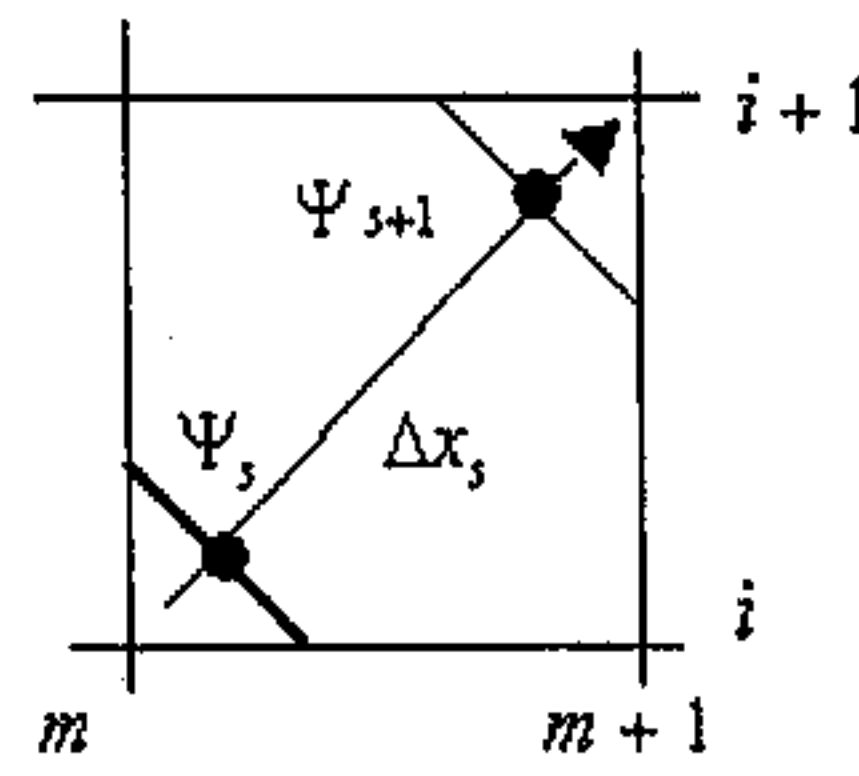
$$\Delta x_s = \Delta V_{ij} \left(- \sum_{\vec{n}_l < 0} (\vec{n} \cdot \Delta lr)_{l+1/2} + \frac{\Delta S_{ij}}{\Delta \phi_k} \eta_k \right)^{-1} = \Delta V_{ij} \left(\sum_{\vec{n}_l > 0} (\vec{n} \cdot \Delta lr)_{l+1/2} + \frac{\Delta S_{ij}}{\Delta \phi_k} \eta_{k+1} \right)^{-1}.$$

Здесь $\sum_{\vec{n}_l < 0} (\dots)$ — суммирование по освещенным граням, $\sum_{\vec{n}_l > 0} (\dots)$ — суммирование по неосвещенным граням.

Будем применять DD-схему для решения системы (8) или эквивалентной ей системы (16). Тогда значение Ψ_g в центре ячейки можно представить как полусумму Ψ_g на противоположных гранях, кроме случая, когда лишь одно ребро освещено, а три — нет. В такой ячейке вместо DD-схемы



a



b

Рис. 2. Графическое представление величин Ψ_s , Ψ_{s+1} , Δx_s : a — $\mu_{m+1/2} < 0$; b — $\mu_{m+1/2} > 0$

второго порядка точности используется St-схема первого порядка точности. Соотношения для Ψ_g в центре ячейки, используемые в DD-схеме, можно привести к виду

$$\Psi_g = \frac{(\Psi_g)_{s+1} + (\Psi_g)_s}{2} + O(\Delta x^2). \quad (17)$$

Для этого надо составить полусумму из формул для Ψ_{s+1} , Ψ_s и воспользоваться соотношениями DD-схемы. Подставляя (17) в (16) и полагая $\Delta x = \Delta x_s$, можно вывести следующую формулу решения на характеристической базе $[x_s \leq x \leq x_{s+1}]$:

$$(\Psi_g)_{s+1} = (\Psi_g)_s \frac{2 - \tilde{\alpha}_g \Delta x_s (2\delta_g - 1)}{2 + \tilde{\alpha}_g \Delta x_s (2\delta_g + 1)} + \frac{\Delta x_s \left[(\tilde{Q}_g)_{s+1} + (\tilde{Q}_g)_s + 2\delta_g ((Q_g)_{s+1} - (Q_g)_s) \right]}{2 + \tilde{\alpha}_g \Delta x_s (2\delta_g + 1)}. \quad (18)$$

Теперь запишем исходное уравнение переноса (7) в характеристической форме:

$$\frac{\partial N_g}{\partial x} + \tilde{\alpha}_g N_g = \tilde{Q}_g. \quad (19)$$

Предположив постоянство $\tilde{\alpha}_g$ в ячейке на интервале $[x_s \leq x \leq x_{s+1}]$ и линейность \tilde{Q}_g ,

$$\tilde{Q}_g(x) = \frac{(\tilde{Q}_g)_s + (\tilde{Q}_g)_{s+1}}{2} + \frac{(\tilde{Q}_g)_{s+1} - (\tilde{Q}_g)_s}{\Delta x_s} (x - x_{s+1/2}),$$

проведем точное интегрирование уравнения (19) на характеристической базе $[x_s \leq x \leq x_{s+1}]$. Тогда получим

$$(N_g)_{s+1} = \exp(-\tilde{\alpha}_g \Delta x_s) (N_g)_s + (1 - \exp(-\tilde{\alpha}_g \Delta x_s)) \frac{(\tilde{Q}_g)_{s+1} - (\tilde{Q}_g)_s}{-\tilde{\alpha}_g^2 \Delta x_s} + \frac{1}{\tilde{\alpha}_g} \left((\tilde{Q}_g)_{s+1} - (\tilde{Q}_g)_s \exp(-\tilde{\alpha}_g \Delta x_s) \right). \quad (20)$$

Теперь, предположив равенство значений $(\Psi_g)_s = (N_g)_s$ на входе, потребуем совпадения выходящих значений: $(\Psi_g)_{s+1} = (N_g)_{s+1}$. Выберем параметр δ_g из этого требования. Сравнивая (18) и (20), получаем следующие формулы для δ_g , θ_g :

$$\delta_g = \frac{1}{2} \frac{1 + \exp(-\tilde{\alpha}_g \Delta x_s)}{1 - \exp(-\tilde{\alpha}_g \Delta x_s)} - \frac{1}{\tilde{\alpha}_g \Delta x_s}; \quad \theta_g = \frac{1}{\tilde{\alpha}_g} \delta_g. \quad (21)$$

Заметим, что данная формула для θ_g совпадает с формулой (14), выведенной из условия (13). Схема (16), (17) с параметрами δ_g , θ_g из формул (21) совпадает с линейной характеристической LC-схемой [4], написанной на характеристической базе $[x_s \leq x \leq x_{s+1}]$. Поэтому формулы (21) для выбора параметров будем называть LC-вариантом, а саму схему (16) с данными параметрами и соотношениями DD-схемы — DDAD-схемой с LC-вариантом выбора параметров искусственной диссипации. Возможны и другие варианты выбора параметров δ_g , θ_g . Например, в качестве δ , θ можно выбрать следующие:

- $\delta = 1/2$, $\theta = 0$ — параметры St-схемы;
- $\delta = 0$, $\theta = 0$ — параметры DD-схемы, где искусственная диссипация не вводится;
- $\delta = \tilde{\alpha} \Delta x / 12$, $\theta = 0$ — параметры CM-схемы (константная моментная);
- $\delta = \frac{1}{2} \frac{1 + \exp(-\tilde{\alpha} \Delta x)}{1 - \exp(-\tilde{\alpha} \Delta x)} - \frac{1}{\tilde{\alpha} \Delta x}$, $\theta = 0$ — параметры SC-схемы (шаговая характеристическая);
- $\delta = \tilde{\alpha} \Delta x / 12$, $\theta = \delta / \tilde{\alpha}$ — параметры LM-схемы (линейная моментная).

Здесь использованы общепринятые обозначения схем [4]. Во всех этих схемах, кроме LM и LC, полагается $(\Delta Q / \Delta x)_{s+1/2} \equiv 0$, поскольку линейное приближение Q используется только в схемах LM

и LC. Схемы DD, CM, SC имеют второй порядок точности аппроксимации как при интегрировании уравнения (19) на характеристической базе $[x_s, x_{s+1}]$, так и для исходного уравнения. Схемы же LM и LC имеют четвертый порядок точности на характеристической базе и второй для исходного уравнения, что следует из соотношения (17). Во всех случаях DDAD-схемы с выбором параметров δ, θ по CM, SC, LM, LC-схемам проблема оптически плотных сред, в отличие от DD-схемы, разрешается за счет вводимой искусственной диссипации. Это, в частности, следует из того, что приведенная оптическая плотность для них мала ($\alpha^* \Delta x \leq 2$).

Теперь вернемся к оценке величины $N_g - \Psi_g$ в формуле (15). При $\tilde{\alpha}_g \Delta x < 1$, используя разложение $\exp(-\tilde{\alpha}_g \Delta x)$ в ряд Тейлора, получаем оценку

$$\frac{\delta_g \Delta x}{\alpha_g^*} = \frac{\delta_g \Delta x}{\tilde{\alpha}_g} (1 + \delta_g \Delta x \tilde{\alpha}_g) = \frac{\Delta x^2}{12} + O(\Delta x^3). \quad (22)$$

Если же $\tilde{\alpha}_g \Delta x \geq 1$, то

$$\frac{\delta_g \Delta x}{\alpha_g^*} = \frac{\delta_g \Delta x}{\tilde{\alpha}_g} + (\delta_g \Delta x)^2 \leq 2\delta_g \Delta x^2 < \Delta x^2. \quad (23)$$

Применив (22), (23) к (15), получим оценку

$$N_g - \Psi_g = O(\Delta x^2). \quad (24)$$

На рис. 3 приведены зависимости δ и $\alpha^* \Delta x$ от $\tilde{\alpha} \Delta x$.

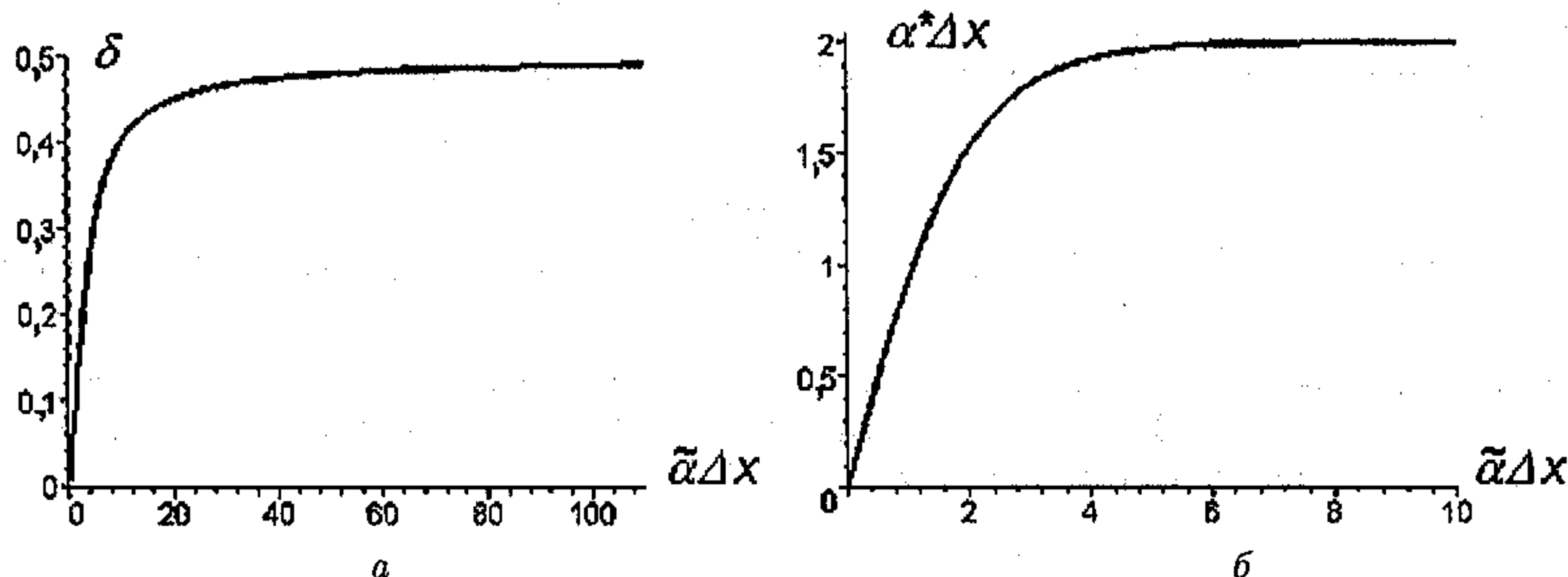


Рис. 3. Зависимость δ (а) и $\alpha^* \Delta x$ (б) от $\tilde{\alpha} \Delta x$

В итоге имеем следующее. Вместо исходного уравнения (7), где оптическая плотность $\tilde{\alpha}_g \Delta x$ может быть значительной и использование DD-схемы может привести к большим нефизическим осцилляциям, решается эквивалентная задача (11) относительно диссипативной функции Ψ_g . Для новой задачи оптическая толщина мала ($\alpha_g^* \Delta x < 2$), и применение DD-схемы для ее решения оправданно. Это не будет приводить к тем нефизическим осцилляциям, о которых говорилось выше. Решение новой задачи остается близкой к решению исходной задачи ($N_g - \Psi_g = O(\Delta x^2)$).

Численные расчеты

Задача 1. Эта задача заимствована из работы Рида [2] для плоской геометрии. Расчетная система состоит из пяти областей различной оптической плотности. Геометрия системы, значения коэффициентов поглощения α , рассеяния β и источник f приведены на рис. 4. Задача односкоростная ($v=1$).

Левое граничное условие — отражатель: $N(0, \mu) = N(0, -\mu)$, правое граничное условие — нулевой входящий поток: $N(R, \mu) = 0$ при $-1 \leq \mu \leq 0$.

Сетка по оси r берется равномерная, с шагом $\Delta r = 0,2$, по угловой переменной μ — равномерная, с числом интервалов $M = 16$.

Результаты расчетов в виде профилей SN приведены на рис. 5. В качестве точного приведено решение, полученное с очень подробной сеткой: $\Delta r = 0,001$ и $\Delta\mu = 0,01$. Варианты B1, B2 расчетов отличаются выбором параметров DDAD-схемы: B1 — $\delta = \frac{\tilde{\alpha}h}{8}$, $\theta = \frac{\delta}{\tilde{\alpha}}$; B2 — $\delta = \frac{\tilde{\alpha}h}{4}$, $\theta = \frac{\delta}{\tilde{\alpha}}$. При получении отрицательного решения происходит пересчет по St-схеме с $\delta = 1/2$, $\theta = 0$. На рис. 5 видна немонотонность решения в оптически плотной среде для DD-схемы и улучшение монотонности в вариантах LC, B1, B2 схемы DDAD. Зависимость результата от r и μ в трехмерном виде для варианта B1 схемы DDAD представлена на рис. 6.

Задача 2. Эта задача составлена на основе первой. Расчетная система состоит из семи областей и приведена на рис. 7.

Левое граничное условие — отражатель: $N(0, \mu) = N(0, -\mu)$, правое граничное условие — входящий поток: $N(R, \mu) = 1$, $-1 \leq \mu \leq 0$.

Сетка по оси r берется равномерная, с шагом $\Delta r = 0,2$, по угловой переменной μ — равномерная, с числом интервалов $M = 16$. Задача считалась для плоской и сферической геометрий.

Результаты расчетов для сферической геометрии представлены на рис. 8. "Точное" решение — результат, полученный по одномерной программе на подробной сетке; DD/St — результат, полученный по двумерной программе с использованием DD-схемы с пересчетом отрицательных N по St-схеме; DDAD/St — результат, полученный по двумерной программе с использованием DDAD-схемы с пересчетом отрицательных N по St-схеме. Из рис. 8 видно, что кривая для DD/St-схемы

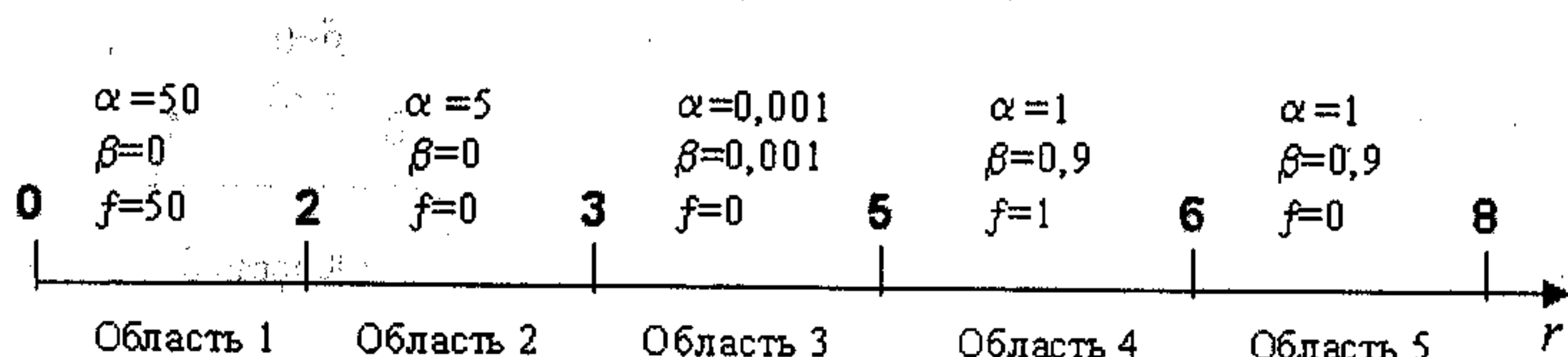


Рис. 4. Задача 1. Геометрия и параметры расчетной системы

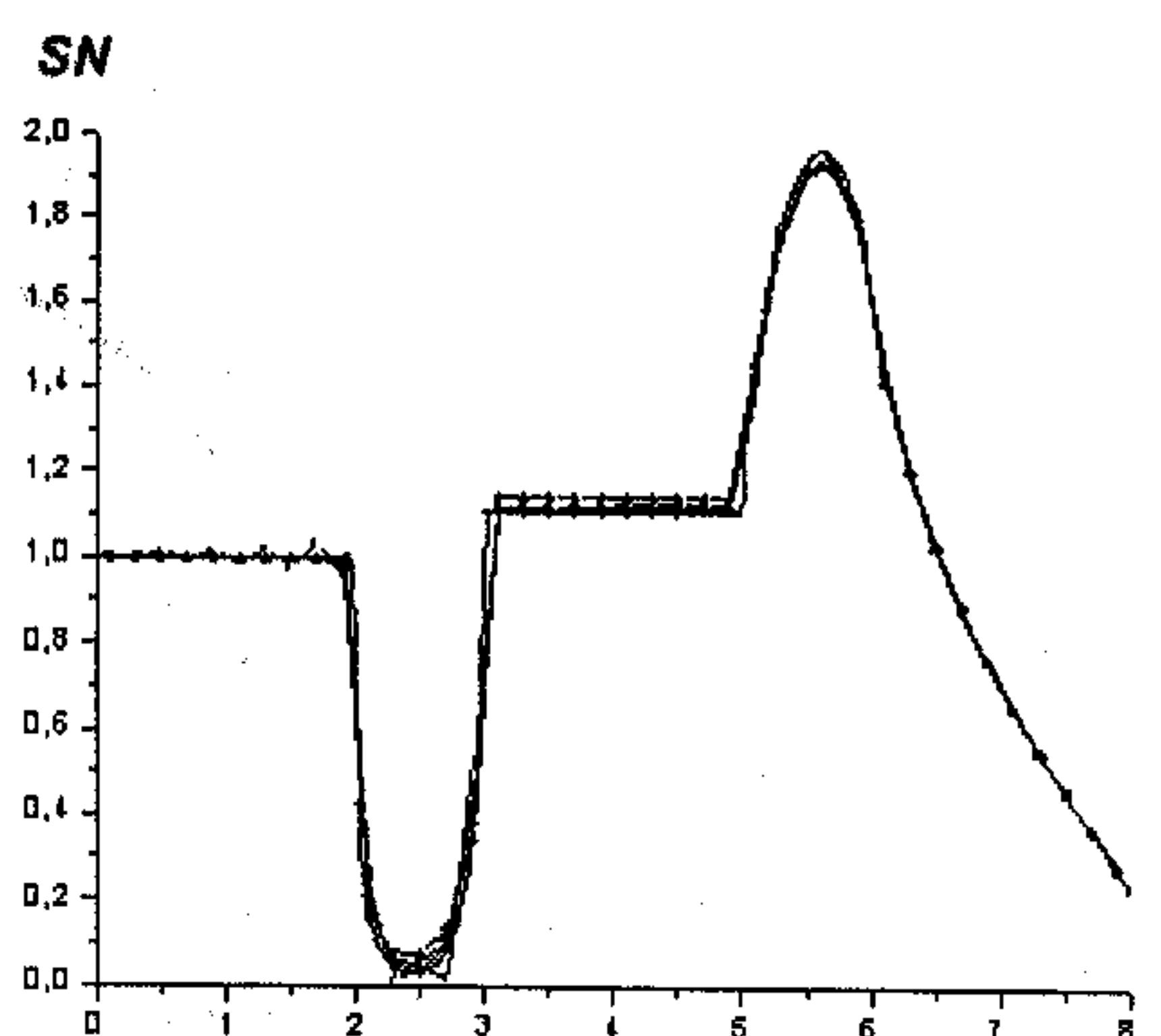


Рис. 5. Задача 1. Расчетные профили SN : — — — точное решение; - · - — DD-схема; -▲— — DDAD-схема, вариант B1; -◆— — DDAD-схема, вариант LC; -★— — DDAD-схема, вариант B2

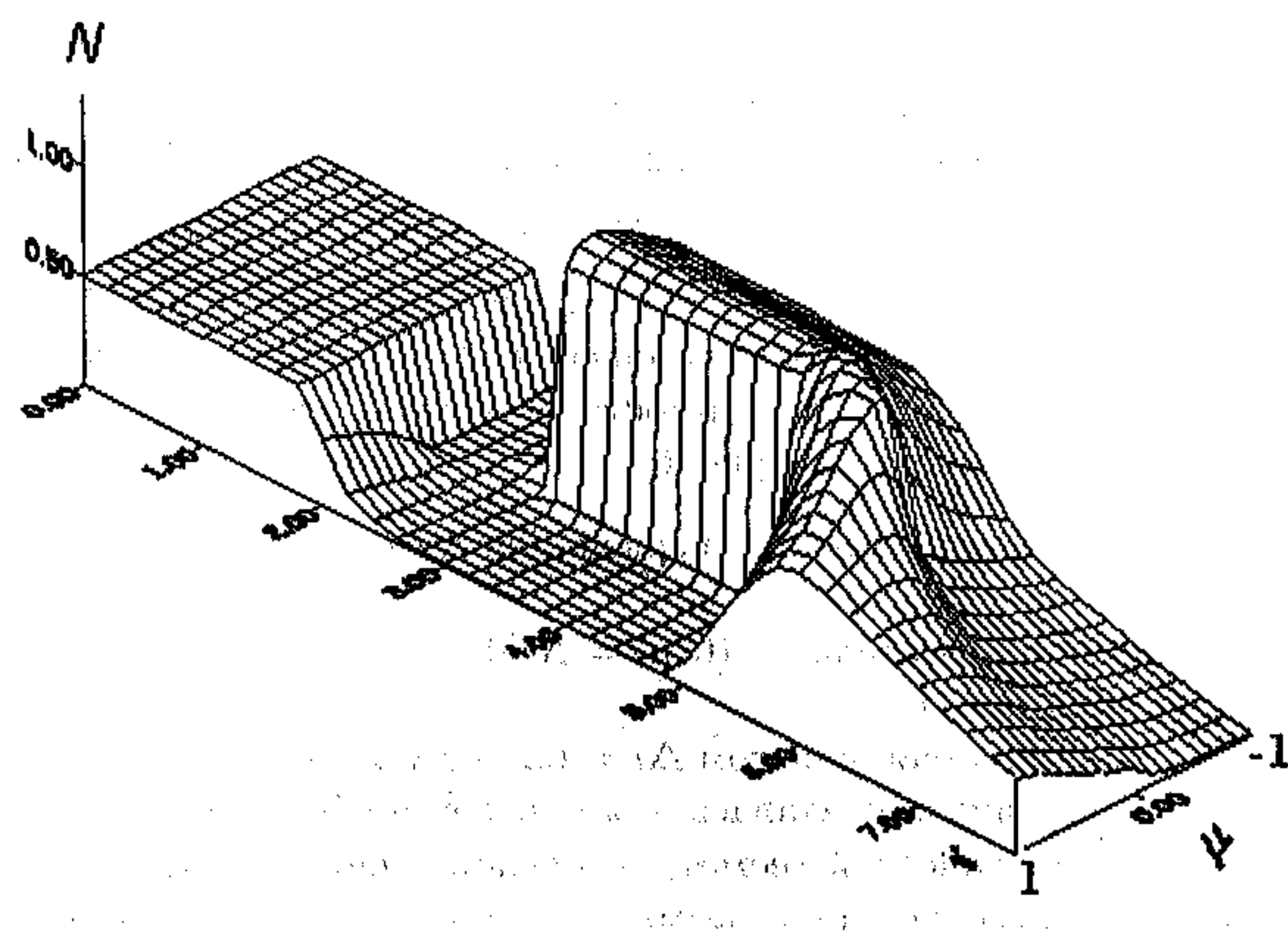


Рис. 6. Распределение нейтронов по пространству r и μ для варианта В1 схемы DDAD

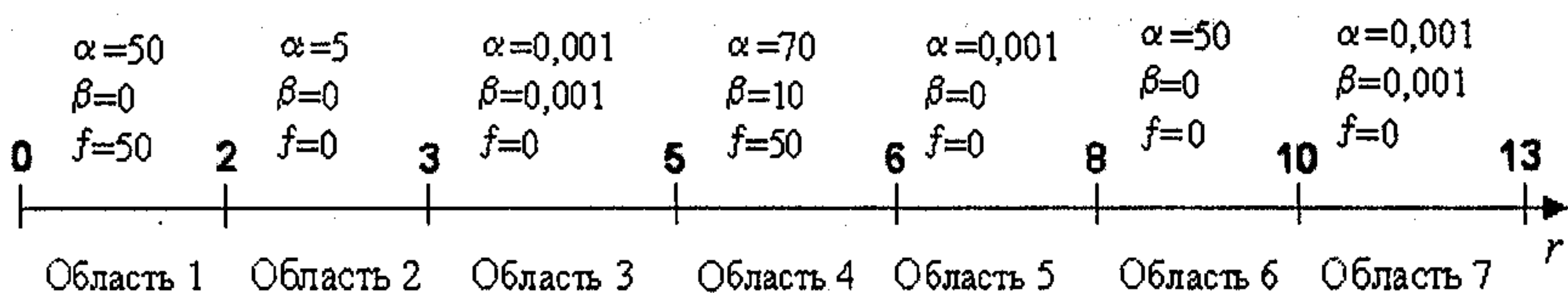


Рис. 7. Задача 2. Геометрия и параметры расчетной системы

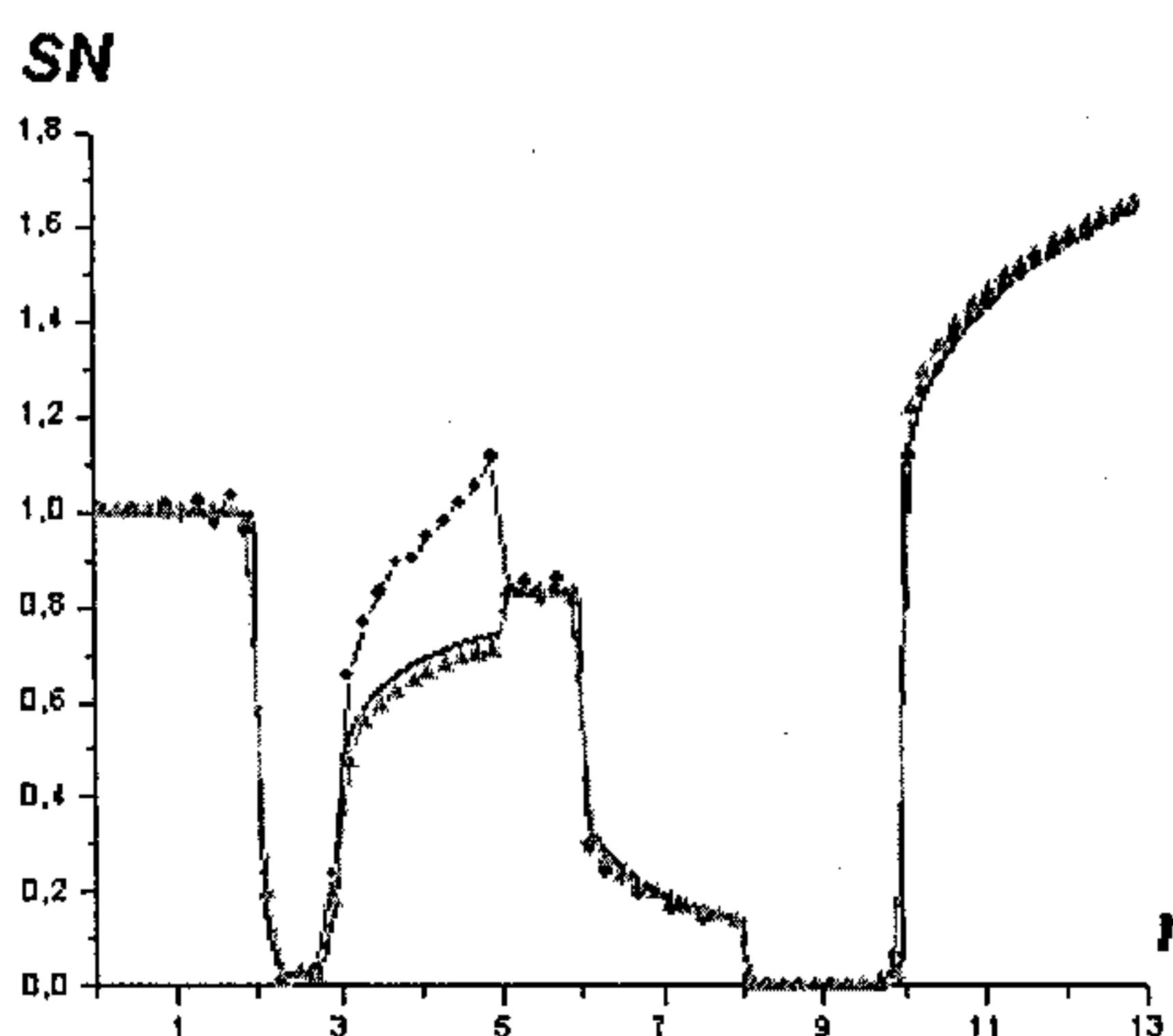


Рис. 8. Задача 2. Расчетные профили SN в сферической геометрии: ——"точное" решение; -•- — расчет по DD/St-схеме; -▲— — расчет по DDAD/St-схеме

существенно отклонилась от точного решения в области 3 ($3 \leq r \leq 5$). Гораздо лучше ведет себя DDAD/St-схема: решение всюду близко к точному, осцилляции имеют меньшую амплитуду, выброс в области 3 отсутствует.

Далее геометрия задачи была модифицирована из одномерной сферической в двумерную цилиндрическую (рис. 9).

Результат расчета при $z \approx 0$ представлен на рис. 10. Качественно он повторяет одномерный.

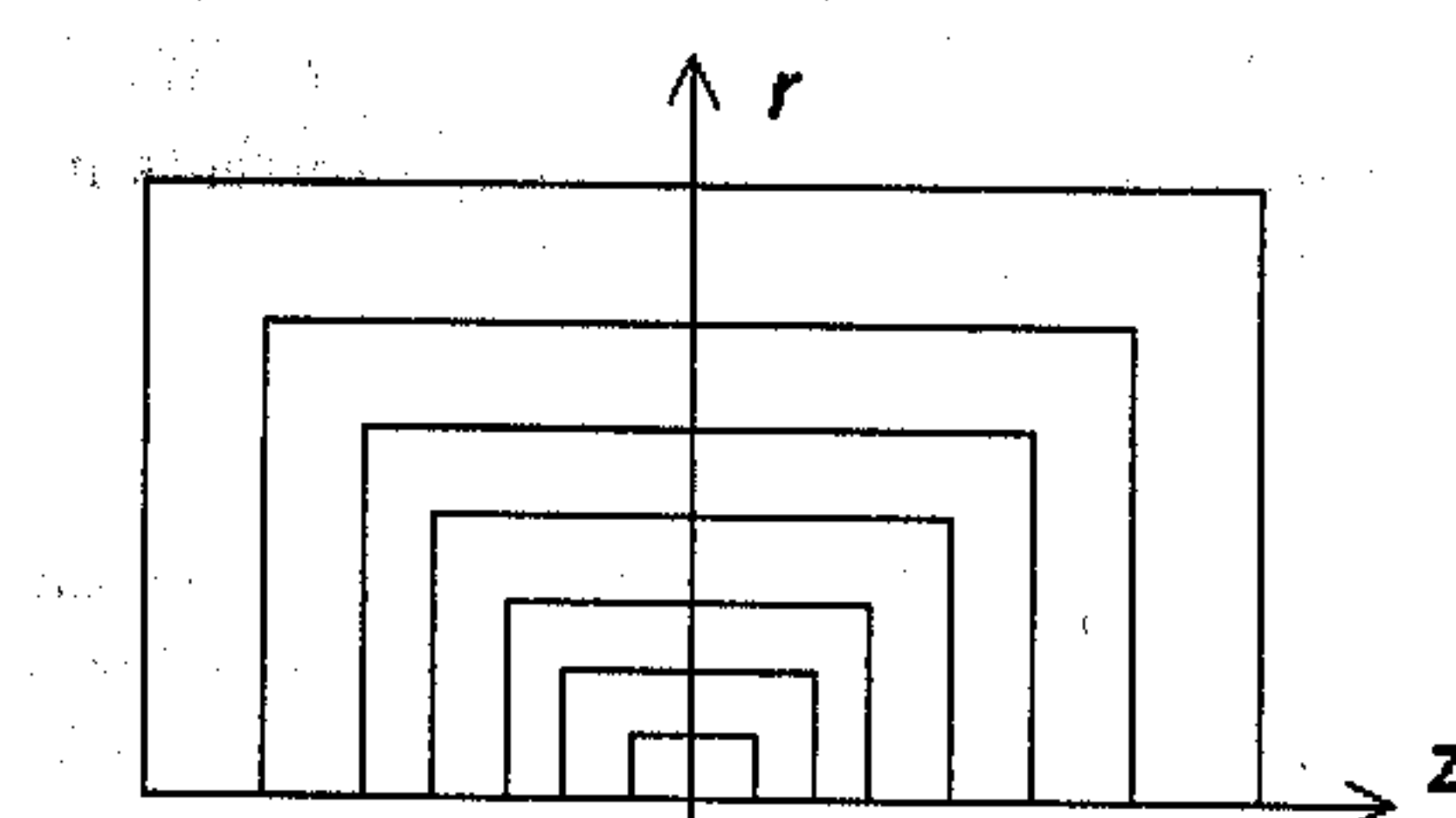


Рис. 9. Геометрия модифицированной задачи

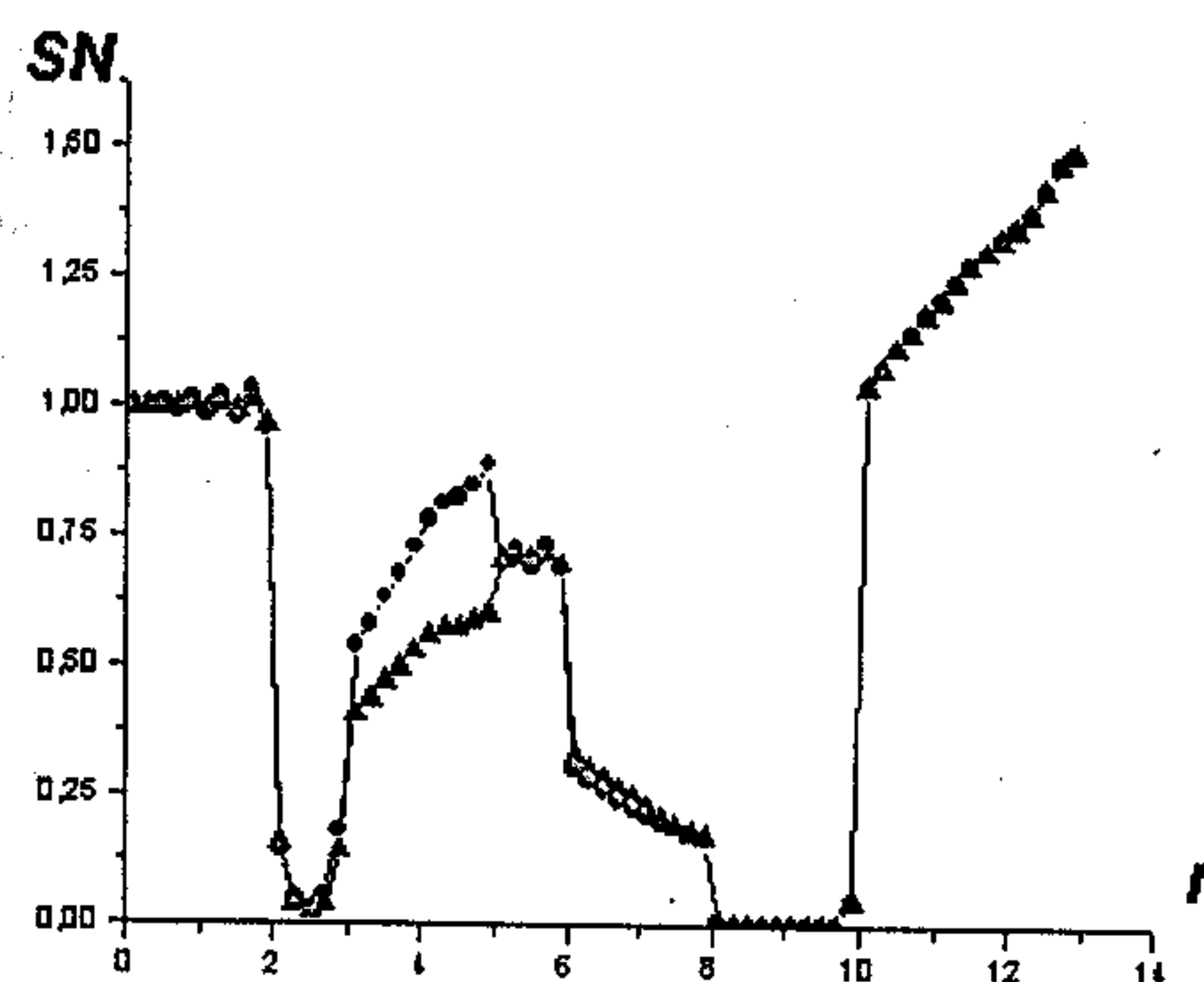


Рис. 10. Расчетные профили SN для модифицированной задачи: — • — по DD/St-схеме; — ▲ — по DDAD/St-схеме

Расчеты показали, что рассмотренный в работе метод дискретных ординат с искусственной диссипацией (DDAD-схема) ослабляет нефизические осцилляции, возникающие в оптически плотных средах.

Список литературы

1. Карлсон Б. Численное решение задачи кинетической теории нейтронов // Теория ядерных реакторов. М.: Атомиздат, 1963. С. 243—258.
2. Reed W. H. New difference schemes for the neutron transport equation // Nucl. Sci. Eng. 1971. Vol. 46, No 2. P. 309—314.
3. Белл Д., Глесстон С. Теория ядерных реакторов. М.: Атомиздат, 1974.

4. *Басс Л. П., Волощенко А. М., Гермогенова Т. А.* Методы дискретных ординат в задачах о переносе излучения. М.: ИПМ АН СССР, 1986.
5. *Трощиев В. Е., Шумилин В. А.* Разностная схема решения двумерного уравнения переноса на нерегулярных четырехугольных сетках // Журнал вычисл. мат. и мат. физ. 1986. Т. 26. С. 230—241.
6. *Alcouff R. E.* Diffusion synthetic acceleration methods for the diamond-differenced discrete-ordinates equations // Nucl. Sci. Eng. 1977. Vol. 64. P. 344.
7. *Carlson B. G.* A method of characteristics and other improvements in solutions methods for the transport equation // Ibid. 1976. G1, No 3. P. 408—425.